

第25卷 , 第6期

)1 1  
Öp



nm 荧光峰的强度， $K_{sv}$  为猝灭常数， $[In]$  为吲哚猝灭体浓度。以  $F_0/F$  对  $[In]$  作图可得直线（见图 5），由斜率可得  $K_{sv}$  为  $5116 \times 10^4 \text{ dm}^3 \cdot \text{mol}^{-1}$ 。

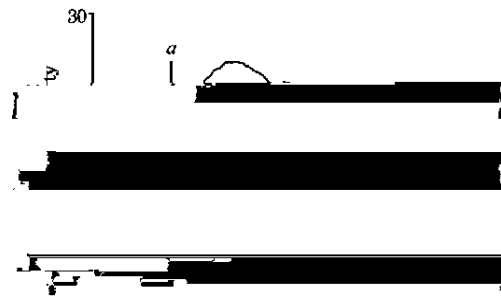


Fig 14 Fluorescence spectra of BSA ( $1 \times 10^{-6} \text{ mol} \cdot \text{dm}^{-3}$ ) in the presence of compound 6: a, 0; b,  $2 \times 10^{-5} \text{ mol} \cdot \text{L}^{-1}$ ; c,  $2 \times 10^{-5} \text{ mol} \cdot \text{L}^{-1}$ ; d,  $4 \times 10^{-5} \text{ mol} \cdot \text{L}^{-1}$ ; e,  $6 \times 10^{-5} \text{ mol} \cdot \text{L}^{-1}$ ; f,  $8 \times 10^{-5} \text{ mol} \cdot \text{L}^{-1}$ ,  $E_x = 280 \text{ nm}$

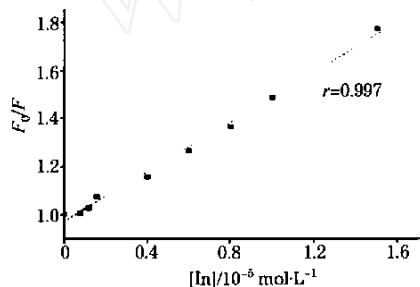


Fig 15 Stern Volmer plot of  $F_0/F$  vs  $[In]$

为验证其猝灭类型，将此过程按动态过程处理，则

$$K_{sv} = k_q / \tau_0 \quad (2)$$

其中， $k_q$  为双分子猝灭过程速率常数， $\tau_0$  为猝灭体不存在时荧光分子平均寿命。由于生物大分子荧光寿命约为  $10^{-8} \text{ s}$ <sup>[16]</sup>，所以由方程(2)可得  $k_q$  为  $5116 \times 10^{12} \text{ dm}^3 \cdot (\text{mol} \cdot \text{s})^{-1}$ 。而各类猝灭剂对生物分子的最大碰撞猝灭过程速率常数为  $210 \times 10^{10} \text{ dm}^3 \cdot (\text{mol} \cdot \text{s})^{-1}$ <sup>[16]</sup>，所以反证以上猝灭为静态猝灭。

### 2.13 结合数和结合常数

对于静态猝灭过程，荧光强度与猝灭剂的关系可由荧光分子与猝灭剂分子之间的结合常数表达式推导求出<sup>[3]</sup>。设生物大分子 BSA 和  $3\text{H2}\text{I}$  吲哚季铵盐 In 有  $n$  个相同且独立的结合位点，则两者间的猝灭反应可表示为



其相应的结合常数  $K_a$  为：

$$K_a = \frac{[\text{In}_n\text{BSA}]}{[\text{In}]^n [\text{BSA}]} \quad (4)$$

式中  $[\text{BSA}]$  为游离荧光体浓度， $[\text{In}_n\text{BSA}]$  是配合物浓度，若荧光体总浓度为  $[\text{BSA}]_0$ ，则  $[\text{BSA}]_0 = [\text{In}_n\text{BSA}] + [\text{BSA}]$ ，代入(4)式得：

$$K_a = \frac{[\text{BSA}]_0 - [\text{BSA}]}{[\text{In}]^n [\text{BSA}]} \quad (5)$$

在静态猝灭中，荧光体系的荧光强度  $F$  与其游离浓度成正比（所生成的配合物是非荧光性的）

$$\frac{[\text{BSA}]}{[\text{BSA}]_0} = \frac{F}{F_0} \quad (6)$$

由(5)和(6)，可得

$$\lg \frac{(F_0 - F)}{F} = \lg K_a + n \lg [\text{In}] \quad (7)$$

当加入的  $3\text{H2}\text{I}$  吲哚季铵盐足够多时，加入的  $3\text{H2}\text{I}$  吲哚季铵盐远大于结合的  $3\text{H2}\text{I}$  吲哚季铵盐，即  $[\text{In}]_0 > > [\text{In}_n\text{BSA}]$  时，近似地用  $[\text{In}]_0$  来代替  $[\text{In}]$ （见图 6）。对其中线性部分拟合，求得  $3\text{H2}\text{I}$  吲哚季铵盐与白蛋白分子的结合常数  $K_a$  及结合位点数  $n$   $K_a = 11995 \times 10^5 \text{ dm}^3 \cdot \text{mol}^{-1}$ ， $n = 1112$ 。由于低浓度不满足  $[\text{In}]_0 > > [\text{In}_n\text{BSA}]$ ，所以偏离直线较大。

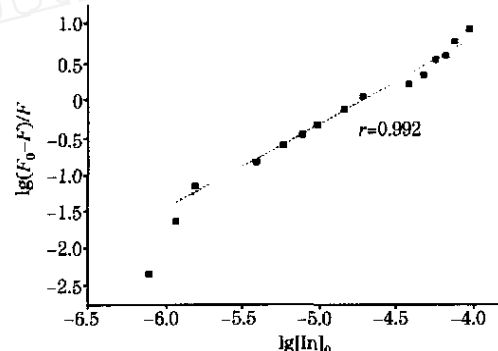


Fig 16 Plot of  $\lg(F_0 - F)/F$  vs  $\lg[\text{In}]_0$

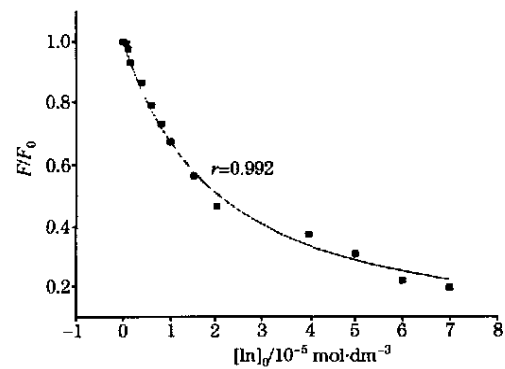


Fig 17 Langmuir plot of  $F/F_0$  vs  $[\text{In}]_0$

对  $3\text{H2}\text{I}$  吲哚季铵盐分子与牛血清蛋白的作用过程，用 Langmuir 吸附等温式处理，则覆盖率  $\theta$  为

$$\theta = \frac{\frac{k_1}{k_{-1}} [\text{In}]_0}{1 + \frac{k_1}{k_{-1}} [\text{In}]_0} = \frac{K [\text{In}]_0}{1 + K [\text{In}]_0} \quad (8)$$

式中  $k_1$ ， $k_{-1}$ ， $K$  分别为吸附、解吸速率常数和吸附平衡常数。覆盖率  $\theta$  应为被结合的蛋白分子占总蛋白的比率，即

$$\theta = \frac{[\text{BSA}]_0 - [\text{BSA}]}{[\text{BSA}]_0} = \frac{F_0 - F}{F_0} \quad (9)$$

由公式(8)和(9)可推得

$$\frac{F}{F_0} = \frac{1}{1 + K[\text{In}]_0} \quad (10)$$

根据公式(10)拟合数据(见图7), 得到吸附常数  $K = 4184 \times 10^4 \text{ dm}^3 \cdot \text{mol}^{-1}$ 。此值与  $K_a$  有一定偏差, 可能是由于所用的模

型不同所致。

关于 3H2吲哚以及其他几种吲哚季铵盐与蛋白质的作用正在研究之中, 希望通过这些研究, 能够得到更多关于此类连有季铵盐的荧光探针分子与蛋白质作用的信息。

## 参 考 文 献

- [1] LI Jian, SHEN Xinghai, GAO Hongcheng. Chemical Physics Letters, 2001, 342: 529.
- [2] LI Jian, SHEN Xinghai, GAO Hongcheng, YE Jianping(李健, 沈兴海, 高宏成, 叶健平). Spectroscopy and Spectral Analysis(光谱学与光谱分析), 2001, 21(4): 508.
- [3] Gao Qiu'e, Ding Zhongtao, Fang Ruibin, et al. Analyst, 2001, 126: 1444.
- [4] YI Pinggui, LIU Junfeng, SHANG Zhi2cai, YU Qing2sen(易平贵, 刘俊峰, 商志才, 俞庆森). Spectroscopy and Spectral Analysis(光谱学与光谱分析), 2001, 21(6): 826.
- [5] Avdulov N, Chochina J, Daragan V, et al. Biochem., 1996, 35: 340.
- [6] Wilton D. Biochem. J., 1990, 270: 163.
- [7] Takeda K, Yoshida I, Yamamoto K J. Protein Chem., 1991, 10: 17.
- [8] Waheed A, Rao K, Gupta P. Anal. Biochem., 2000, 287: 73.
- [9] Silber M, Davitt B. Prep. Biochem. Biotechnol., 2000, 30: 209.
- [10] Jin Y, Li W, Wang Q. Biochem. Biophys. Res. Commun., 1991, 177: 474.
- [11] Nakamaru Y, Sato C. Biochem. Biophys. Acta, 2000, 1480: 321.
- [12] Gelamio E, Silva C, Imasato H, et al. Biochem. Biophys. Acta, 2002, 1594: 84.
- [13] Deep S, Ahluwalia J. Phys. Chem. Chem. Phys., 2001, 3: 4583.
- [14] Vasilescu M, Angelescu D. Langmuir, 1999, 15: 2635.
- [15] XU Tongkuan, SHEN Xinghai, GAO Hongcheng(徐同宽, 沈兴海, 高宏成). Chinese Chemical Letters, pressed.
- [16] ZHANG Hai2rong, GUO Siyuan, LI Lin, CAI Miao2yan, JIN Wei2jun, et al(张海容, 郭祀远, 李琳, 蔡妙颜, 晋卫军, 等). Spectroscopy and Spectral Analysis(光谱学与光谱分析), 2001, 21(6): 829.

## Synthesis of Substituted 3H2Indole Quaternary Ammonium Salt and Study on Its Interaction with Bovine Serum Albumin by Fluorescence

XU Tongkuan, SHEN Xinghai<sup>3</sup>, GAO Hongcheng

College of Chemistry and Molecular Engineering, Peking University, Beijing 100871, China

**Abstract** A substituted 3H2indole quaternary ammonium molecule was designed and synthesized using hexamethylphosphoramide (HMPA) as a solvent. The products were purified and characterized by IR, <sup>1</sup>H2NMR, MS and elemental analysis. The binding reaction of this compound with bovine serum albumin (BSA) in aqueous solution was studied using fluorescence. Their binding constant is  $K_a = 11995 \times 10^5 \text{ dm}^3 \cdot \text{mol}^{-1}$  and the binding site number is  $n = 1112$ . It is confirmed that the combination is a single static quenching process.

**Keywords** Substituted 3H2indole quaternary ammonium molecule; Synthesis; BSA; Fluorescence

(Received Oct. 28, 2003; accepted Jan. 8, 2004)

<sup>3</sup> Corresponding author